

I — 2 厚肉球殻のスタンプの近似解析について

北見工業大学 正員 奥村 勇
 北見工業大学 正員 尾中孝美
 稲田機械工業 工藤智紀

1. まえがき

軸対称問題としての中実球、厚肉球殼及び無限体中の球かの第1種及び第2種の境界値問題は、3次元弾性論の書物において良く見受けられる所であるが、厚肉球殼の混合境界値問題の1つであるスタンプの解析は、あまり見受けられないようである。

本研究は、厚肉球殼の外表面の1部が変位成分によって規定され、他の部分及び内表面が応力成分によって規定されたスタンプの解析を近似解法により行ったものである。ここで用いた近似解法は、厚肉球殼の内部の変位場・応力場及び内表面における境界条件は、3次元弾性解により厳密に満たされ、外表面のスタンプの境界条件のみが近似的に満たされる一半解析方法である。前回は、同じ手法により、中実球のスタンプの解析について報告したが、今回は、それを厚肉球殼のスタンプの解析に発展させたものである。

2. 球座標系における軸対称問題の解

球座標系 (r, θ, φ) における物体が無い場合のつまり方程式の解は、軸対称変形に限定する上、次のようにならわれる。

$$\text{第1基本解: } 2G u_r' = 2G [u_r', u_\theta', 0] = \text{grad } \phi \quad \dots \dots \dots \dots \dots \dots \dots \quad (1a)$$

ここで、

$$\partial^2 \phi = 0, \quad r^2 \equiv r^2/\partial r^2 + (2/r) \partial/\partial r + (1/r^2) \partial^2/\partial \theta^2 + (\cot \theta/r^2) \partial/\partial \theta \quad \dots \dots \dots \dots \quad (1b)$$

$$\text{第3基本解: } 2G u_r' = 2G [u_r', u_\theta', 0] = \text{grad } (\mu r) - \nu(1-\nu) r \\ = \text{grad } (r \lambda r) - \nu(1-\nu) [\lambda r, \lambda \theta, 0] \quad \dots \dots \dots \dots \quad (2a)$$

ここで、

$$\lambda r = -r \frac{\partial}{\partial r} \int^{\theta} \lambda \theta d\theta, \quad r^2 \lambda \theta = \frac{\lambda \theta}{r^2 \sin^2 \theta} - \frac{2}{r} \frac{\partial \lambda \theta}{\partial r} = 0 \quad \dots \dots \dots \dots \quad (2b)$$

ただし、式 (1a) 及び式 (2a) における G 及び ν は、それぞれ、せん断弾性係数及びボアソン比を表わすものとする。求められた解は、上の 2 つの基本解を加えたものであり、次式で表わされる。

$$2G u_r = 2G [u_r, u_\theta, 0] = 2G [u_r' + u_r^3, u_\theta^3, 0] = 2G [u_r' + u_r^3, u_\theta^3, 0] \quad \dots \dots \dots \dots \quad (3)$$

式 (1a) 及び式 (2b) より、変位ポテンシャルは、次式のように求められる。

$$\phi = \sum_{n=2}^{\infty} r^n A_n P_n(\mu) + \sum_{n=0}^{\infty} D_n r^{-(n+1)} P_n(\mu) \quad \dots \dots \dots \dots \dots \dots \dots \quad (4)$$

$$2r = \sum_{n=0}^{\infty} r^{n+1} (n+1) E_n P_n(\mu) - \sum_{n=1}^{\infty} n C_n r^{-n} P_n(\mu), \quad \lambda \theta = \sum_{n=0}^{\infty} r^{n+1} E_n \sin \theta P_n'(\mu) + \sum_{n=1}^{\infty} C_n r^{-n} \sin \theta P_n'(\mu) \quad \dots \dots \dots \dots \quad (5)$$

ここで、 $\mu \equiv \cot \theta$ であり、また、 A_n, \dots, C_n は、境界条件によって定められるべき未定数である。

式 (4) 及び式 (5) に示した変位ポテンシャルを、それぞれ、式 (1a) 及び式 (2a) に代入して、式 (3) を用いる上、変位成分は、次のようにならわれる。

$$\left. \begin{aligned} 2G u_r &= \sum_{n=2}^{\infty} r^{n-1} A_n n P_n(\mu) + \sum_{n=1}^{\infty} r^{n+1} E_n (n+1)(n-2+4\nu) P_n(\mu) - 2(1-2\nu) E_0 r \\ &\quad - \sum_{n=1}^{\infty} r^{-(n+2)} D_n (n+1) P_n(\mu) - D_0 r^2 + \sum_{n=1}^{\infty} r^{-n} C_n n(n+3-4\nu) P_n(\mu) \\ 2G u_\theta &= \sum_{n=2}^{\infty} r^{n-1} A_n \sin \theta P_n'(\mu) - \sum_{n=1}^{\infty} r^{n+1} E_n (n+5-4\nu) \sin \theta P_n'(\mu) \\ &\quad - \sum_{n=1}^{\infty} r^{-(n+2)} D_n \sin \theta P_n'(\mu) + \sum_{n=1}^{\infty} r^{-n} C_n (n-4+4\nu) \sin \theta P_n'(\mu) \end{aligned} \right\} \quad \dots \dots \dots \dots \quad (6)$$

また、応力成分は、上の変位成分よりひずみ成分を求め、球座標系における Hooke の応力-ひずみ関係式を用

いふと、例えば、次のようになる。

$$\left. \begin{aligned} \sigma_{rr} &= \sum_{n=2}^{\infty} r^{n-2} A_n n(n-1) P_n(\mu) + \sum_{n=1}^{\infty} r^n E_n(n+1)(n^2-n-2\nu) P_n(\mu) - 2(1+\nu) E_0 \\ &\quad + \sum_{n=1}^{\infty} r^{-(n+3)} D_n(n+1)(n+2) P_n(\mu) + 2D_0 r^{-3} - \sum_{n=1}^{\infty} r^{-(n+1)} C_n n(n^2+3n-2\nu) P_n(\mu) \\ \sigma_{r\theta} &= - \sum_{n=2}^{\infty} r^{n-2} A_n(n-1) \sin \theta P_n'(\mu) - \sum_{n=1}^{\infty} r^n E_n(n^2+2n-1+2\nu) \sin \theta P_n'(\mu) \\ &\quad + \sum_{n=1}^{\infty} r^{-(n+3)} D_n(n+2) \sin \theta P_n'(\mu) - \sum_{n=1}^{\infty} r^{-(n+1)} C_n(n^2+2+2\nu) \sin \theta P_n'(\mu) \end{aligned} \right\} \dots \dots \dots (7)$$

3. 線荷重を受けた時の解

図-1に示したように、外半径 R_2 の厚肉球殻の外表面の $\theta = \theta_e$ と $\theta = \pi - \theta_e$ の円周上に分布する線垂直荷重を $i(\theta)$ で表わし、また、図-2に示したように、外表面の $\theta = \theta_e$ と $\theta = \pi - \theta_e$ の円周上に分布する線せん断荷重を $j(\theta)$ で表わすと、これらは、次のように Legendre 展開される。

$$i(\theta) = e_0 + \sum_{n=2}^{\infty} e_n P_n(\mu), \quad j(\theta) = \sum_{n=2}^{\infty} d_n \sin \theta P_n'(\mu) \dots (8)$$

ここで、

$$\left. \begin{aligned} e_0 &= P_e \sin \theta_e / R_2, \quad e_n = P_e \sin \theta_e (2n+1) P_n(\cos \theta_e) / R_2 \\ d_n &= g_2 \sin \theta_e \{ P_{n-1}(\cos \theta_e) - P_{n+1}(\cos \theta_e) \} / R_2 \end{aligned} \right\} \dots (9)$$

いま、内表面 $r = R_1$ には外力が作用せず、外表面において、式(8)の外力を受けた厚肉球殻を考えると、境界条件は、次式となる。

$$r = R_1 \text{において}, \quad \sigma_{rr} = 0, \quad \sigma_{r\theta} = 0 \dots \dots \dots (10a)$$

$$r = R_2 \text{において}, \quad \sigma_{rr} = -i(\theta), \quad \sigma_{r\theta} = j(\theta) \dots \dots \dots (10b)$$

式(10a)及式(10b)の境界条件を、式(7)の応力成分に課すると、未知定数 A_n, \dots, C_n が次式のように定められる。

$$\begin{aligned} A_n &= G \sin \theta_e / \{ R_2^{n-2} (n-1) \Delta_n \} \{ \bar{P}_e (2n+1) P_n(\cos \theta_e) \{ \delta_n \\ &\quad \cdot \{ \pi K_n - (n+1) \gamma_n \} (\rho^{2-n} - \rho^{n+5}) - \gamma_n (n+1) (5n + \delta_n) \\ &\quad \cdot (\rho^{n+5} - \rho^{n+3}) \} - \bar{g}_e (n+1) \{ P_{n-1}(\cos \theta_e) - P_{n+1}(\cos \theta_e) \} \\ &\quad \cdot \{ 5n \{ \pi K_n - (n+1) \gamma_n \} (\rho^{2-n} - \rho^{n+5}) + n K_n (5n + \delta_n) \\ &\quad \cdot (\rho^{n+5} - \rho^{n+3}) \} \} \dots \dots \dots (11a) \end{aligned}$$

$$\begin{aligned} E_n &= G \sin \theta_e / \{ R_2^n \Delta_n \} \{ \bar{P}_e (2n+1) P_n(\cos \theta_e) \{ \gamma_n (2n \\ &\quad + 1) (\rho^{2-n} - \rho^{n+1}) + \pi (\gamma_n + K_n) (\rho^{n+3} - \rho^{2-n}) \} \} + \bar{g}_e \\ &\quad \cdot n \{ P_{n-1}(\cos \theta_e) - P_{n+1}(\cos \theta_e) \} \{ K_n (2n+1) (\rho^{2-n} - \rho^{n+1}) + (n+1) (\gamma_n + K_n) \\ &\quad \cdot (\rho^{n+3} - \rho^{2-n}) \} \} \dots \dots \dots (11b) \end{aligned}$$

$$\begin{aligned} D_n &= G \sin \theta_e R_1^{n+3} / \{ (n+2) \Delta_n \} \{ \bar{P}_e (2n+1) P_n(\cos \theta_e) \{ n \delta_n (\gamma_n + K_n) (1 - \rho^2) - \gamma_n \{ (n+1) \} \\ &\quad \cdot n \delta_n \} (\rho^2 - \rho^{2n+1}) \} - \bar{g}_e n \{ P_{n-1}(\cos \theta_e) - P_{n+1}(\cos \theta_e) \} \{ (n+1) \} \{ (n+1) \} (\gamma_n + K_n) (1 - \rho^2) \\ &\quad + K_n \{ (n+1) \} \{ (n+1) \} \delta_n - n \delta_n \} (\rho^2 - \rho^{2n+1}) \} \} \dots \dots \dots (11c) \end{aligned}$$

$$\begin{aligned} C_n &= G \sin \theta_e R_1^{n+1} / \Delta_n \{ \bar{P}_e (2n+1) P_n(\cos \theta_e) \{ \delta_n (2n+1) (1 - \rho^2) + \{ (n+1) \} \{ (n+1) \} \delta_n - n \delta_n \} (\rho^{2n+3} - \rho^2) \\ &\quad + \bar{g}_e (n+1) \{ P_{n-1}(\cos \theta_e) - P_{n+1}(\cos \theta_e) \} \{ \{ (n+1) \} \delta_n - n \delta_n \} (\rho^{2n+3} - \rho^2) - \gamma_n (2n+1) \\ &\quad \cdot (1 - \rho^2) \} \} \dots \dots \dots (11d) \end{aligned}$$

$$E_o = \frac{-G \bar{P}_e \sin \theta_e}{2(1+\nu)(\rho^3-1)}, \quad D_o = \frac{-G R_1^3 \bar{P}_e \sin \theta_e}{2(\rho^3-1)} \dots \dots \dots (11e)$$

ここで、

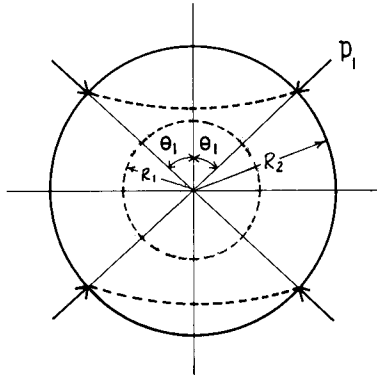


図-1 線垂直荷重を受けた厚肉球殻

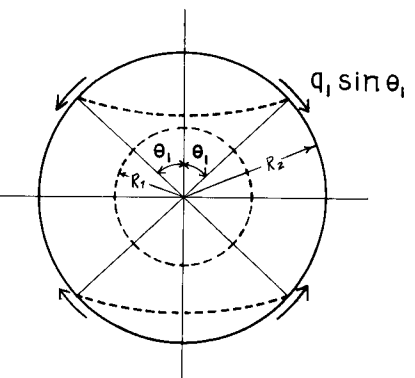


図-2 線せん断荷重を受けた厚肉球殻

$$\left. \begin{aligned} \delta_n &= n^2 + 2n - 1 + 2\sqrt{1 + 2n}, \quad \gamma_n = n^2 - 2 + 2\sqrt{1 + 2n}, \quad s_n = n^2 - n - 2 + 2\sqrt{1 + 2n}, \quad k_n = n^2 + 3n - 2 + 2\sqrt{1 + 2n} \\ \Delta_n &= (\rho^{2n+3} - 1)(\rho^{2-n} - \rho^{n+1}) \{ (n+1)s_n - n\delta_n \} \{ (n+1)\gamma_n - nk_n \} - (1 - \rho^2)(\rho^{n+3} - \rho^{n+1}) \\ &\cdot n(n+1)(\gamma_n + k_n)(s_n + \delta_n) \\ \bar{P}_e &= P_e / (GR_2), \quad \bar{q}_e = q_e / (GR_2), \quad \rho = R_1 / R_2 \end{aligned} \right\} \dots \dots \dots \quad (12)$$

いま、厚肉球殻の外表面の $0 < \theta \leq \theta_0$ の区間に線垂直荷重 P_e がし個及ひ線せん断荷重 $q_e \sin \theta e$ が λ 個作用している場合を考えると、その解は、 $\theta = \theta_0$ ($0 < \theta_0 \leq \theta_0$) に 1 個の線荷重が作用している時の解、すなわち、式 (11a) から式 (11e) の未知定数を式 (6) 及び式 (7) に代入した時の解を λ 個重ね合わせることにより得られ、式 (6) 及び式 (7) に $\frac{\lambda}{2}$ を付すことになる。

4. スタンプの境界条件

図-3 に示す厚肉球殻のスタンプの境界条件は、次の通りである。

$$r = R_1 \text{ において, } \sigma_{rr} = 0, \sigma_{r\theta} = 0 \dots \dots \dots \quad (13)$$

$$r = R_2, \quad 0 \leq \theta < \theta_0 \text{ において, }$$

$$u_r = -R_2(\mu - \cos \theta_0)M, \quad u_\theta = R_2(\mu - \cos \theta_0) \sin \theta \dots \dots \quad (14a)$$

$$r = R_2, \quad \theta_0 < \theta < \pi - \theta_0 \text{ において, } \sigma_{rr} = 0, \sigma_{r\theta} = 0 \dots \dots \quad (14b)$$

$$r = R_2, \quad \pi - \theta_0 < \theta \leq \pi \text{ において, }$$

$$u_r = -R_2(\mu + \cos \theta_0)M, \quad u_\theta = R_2(\mu + \cos \theta_0) \sin \theta \dots \dots \quad (14c)$$

式 (13) 及び式 (14c) の境界条件は、式 (11a) から式 (11e) の解においてすでに満足されている。なぜなら、式 (11a) から式 (11e) は、 $r = R_1$ において $\sigma_{rr} = \sigma_{r\theta} = 0$ の条件及び $0 < \theta \leq \theta_0$ の区間の $\theta = \theta_0$ の時に線荷重が作用している条件を用いて求めた解であるからである。図-3 に示したように、 $\theta = 0$ に関して、上、下対称であるので、式 (14a) の境界条件について考える。

式 (6) の変位成分に、式 (14a) の境界条件を課すと、次式が得られる。

$$\begin{aligned} (R_2/2G) \sum_{n=2}^{\infty} \sum_{m=2}^{\infty} P_n(\cos \theta) \{ R_2^{n-2} A_n n + R_2^n E_n (n+1)(n-2+4v) - R_2^{-(n+3)} D_n (n+1) - R_2^{-(n+1)} C_n n (n+3 \\ - 4v) \} - (R_2/2G) \{ 2(1-2v) \sum_{n=1}^{\infty} E_0 + \sum_{n=1}^{\infty} R_2^n D_0 \} = -R_2(\cos \theta - \cos \theta_0) \cos \theta \dots \dots \dots \quad (15a) \\ - (R_2/2G) \sum_{n=2}^{\infty} \sum_{m=2}^{\infty} \sin \theta P_n'(\cos \theta) \{ R_2^{n-2} A_n + R_2^n E_n (n+5-4v) + R_2^{-(n+3)} D_n - R_2^{-(n+1)} C_n \\ \cdot (n-4+4v) \} = R_2(\cos \theta - \cos \theta_0) \sin \theta \dots \dots \dots \quad (15b) \end{aligned}$$

上の 2 つの方程式に式 (11a) から式 (11e) を代入して整頓してみると、線荷重の強度 \bar{P}_e 及び \bar{q}_e を定める連立方程式が次のようにならる。

$$\sum_{n=1}^{\infty} (e_{111} \bar{P}_e + e_{112} \bar{q}_e) = (\cos \theta - \cos \theta_0) \cos \theta, \quad \sum_{n=1}^{\infty} (e_{211} \bar{P}_e + e_{212} \bar{q}_e) = -(\cos \theta - \cos \theta_0) \sin \theta \dots \dots \quad (16)$$

ここで、例えば、

$$\begin{aligned} e_{111} &= \sin \theta \{ \{ 2(1-2v) + \rho^3(1+v) \} / \{ 4(1+v)(1-\rho^3) \} + \sum_{n=2}^{\infty} P_n(\cos \theta) P_n(\cos \theta_0) (2n+1) / (2\Delta_n) \\ &\quad \{ n/(n-1) \{ \gamma_n(n+1)(s_n+\delta_n)(\rho^{n+5}-\rho^{n+3}) - \delta_n + \pi k_n - (n+1)\gamma_n \} (\rho^{2-n}-\rho^{n+5}) \} \\ &\quad + (n+1)(n-2+4v) \{ \gamma_n(2n+1)(\rho^{n+1}-\rho^{2-n}) + n(\gamma_n+k_n)(\rho^{2-n}-\rho^{n+3}) \} + (n+1)/(n+2) \\ &\quad \cdot \{ n\delta_n(\gamma_n+k_n)(\rho^{n+3}-\rho^{n+5}) - \gamma_n \{ (n+1)s_n - n\delta_n \} (\rho^{n+5}-\rho^{3n+4}) \} + n(n+3-4v) \{ \delta_n(2n+1) \\ &\quad \cdot (\rho^{n+3}-\rho^{n+1}) + \{ (n+1)s_n - n\delta_n \} (\rho^{n+3}-\rho^{3n+4}) \} \} \} \dots \dots \dots \quad (17a) \end{aligned}$$

$$\begin{aligned} e_{112} &= -\sin \theta \sum_{n=2}^{\infty} n(n+1) / (2\Delta_n) P_n(\cos \theta) \{ P_{n-1}(\cos \theta_0) - P_{n+1}(\cos \theta_0) \} \{ \{ s_n \{ \pi k_n - (n+1) \\ &\quad \cdot \gamma_n \} (\rho^{n+5}-\rho^{2-n}) + \pi k_n(s_n+\delta_n)(\rho^{n+3}-\rho^{n+5}) \} / (n-1) + (n-2+4v) \{ k_n(2n+1)(\rho^{2-n} \\ &\quad - \rho^{n+1}) + (n+1)(\gamma_n+k_n)(\rho^{n+3}-\rho^{2-n}) \} \} + \{ (n+1)s_n(\gamma_n+k_n)(\rho^{n+3}-\rho^{n+5}) + k_n \\ &\quad \cdot \{ (n+1)s_n - n\delta_n \} (\rho^{n+5}-\rho^{3n+4}) \} / (n+2) + (n+3-4v) \{ \{ (n+1)s_n - n\delta_n \} (\rho^{3n+4} \\ &\quad - \rho^{n+3}) - s_n(2n+1)(\rho^{n+1}-\rho^{n+3}) \} \} \dots \dots \dots \quad (17b) \end{aligned}$$

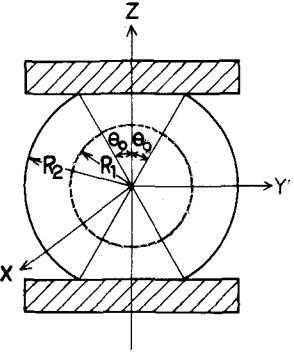


図-3 厚肉球殻のスタンプ

式(16)は、 $0 \leq \theta < \theta_0$ の区間における任意の日に關して満足すべきものであるが、近似的に、 $0 + \varepsilon \leq \theta_R \leq \theta_0$ ($\ell = 1, 2, \dots, L$) の区間の右端の各点において満足するもののと、2L次元立1次方程式を解いてL個の平均及び誤差を數値的に定め、それらを式(6)から式(11c)に代入して、変位成分及び応力成分を数値的に求めることになる。

5. 数値計算例

数値計算例として、 $\rho = R_1/R_2 = 0.6$, $\gamma = 0.25$ 及び $\theta_0 = \pi/16$ を持つ大厚肉球殻を取り扱った。また、 $\varepsilon = 0.005$, $L = 80$, $n = 2, 4, \dots, 200$ を用いた。数値計算結果を図-4から図-8に示した。

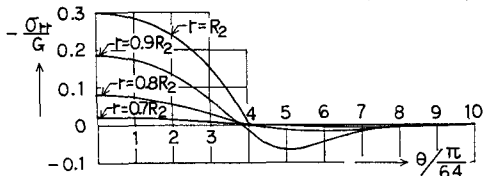


図-4 σ_{rr} の分布

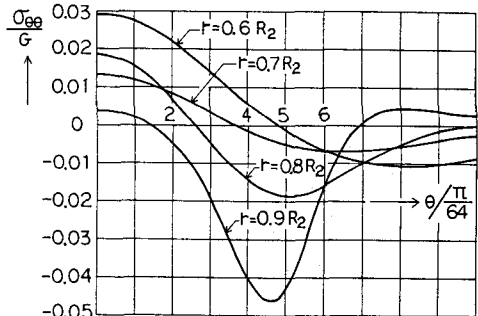


図-5 $\sigma_{\theta\theta}$ の分布

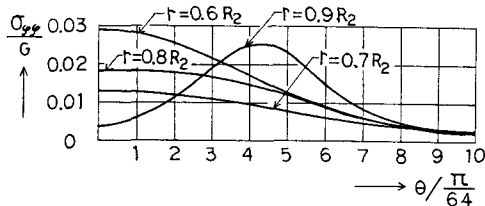


図-6 $\sigma_{\phi\phi}$ の分布

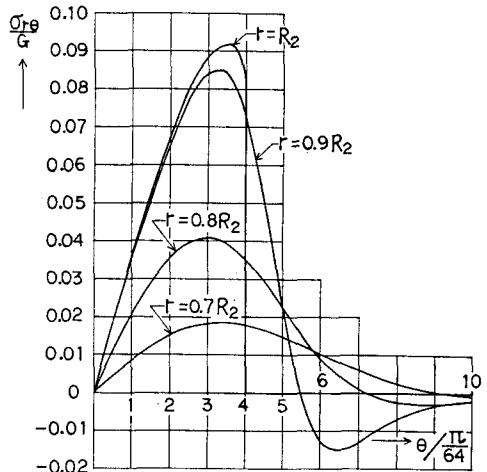


図-8 $\sigma_{r\theta}$ の分布

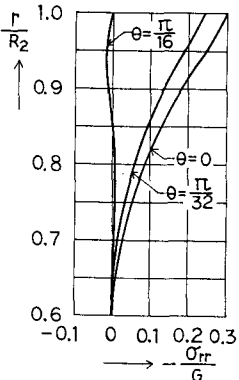


図-7 $\sigma_{r\theta}$ のr方向の分布

6. あとがき

厳密な解析が困難とされてい厚肉球殻のスタンダードの解析を、変位成分に関する境界条件のみが近似的に満たされると1つの半解析法により行つた。厚肉球殻の外表面近く

*の応力の値は、前回報告した中実球のスタンダードの表面近くの応力の値とほぼ同じ傾向を示しており、数値計算結果は、妥当なものと考えられる。図-8に示した $\sigma_{r\theta}$ のスタンダードの境界 ($r = R_2$, $\theta = \theta_0 = \pi/16$) における値は、相当に精密な計算を行つたがゆえに、不連続性を示すようである。